

بررسی پارامترهای مؤثر در اصلاح نشست نامتقارن پی سازه‌های بتُنی به روش جک‌زنی

علی اکبر احتمامی (کارشناسی ارشد)

حسین سلطانی جیقه^{*} (دانشیار)

امیرحسن رضائی فرعی (استادیار)

دانشکده‌ی فنی و مهندسی، دانشگاه شهید مدنی آذربایجان

مهمنگی عمان، شفاف، پلی‌کربونات (۱۶۰/۰۵) - ۷۳، شماره ۲، دوری ۲، ۱۰ ص.

کوی فرشته از جمله مناطقی در شمال شهر تبریز می‌باشد که نشست متقارن و نامتقارن در ساخته‌های احداث شده در آن به دلایل ژئوتکنیکی و ضعف طراحی ایجاد شده است. اگر نشست سازه از محدوده غیرمجاز آینین نامه‌ها فراتر رود، می‌بایست به وسیله عملیات اصلاح نشست، تصحیح گردد. در این مطالعه، روش جک‌زنی به دلیل مزایای آن، به مظور اصلاح نشست سه سازه، ۶، ۴ و طبقه بتُنی مورد بررسی قرار گرفته است. در این روش، اعمال نیرو توسط جک‌ها تا حدی ادامه پیدا می‌کند که میزان نشست غیریکنواخت پی به کمترین مقدار ممکن کاهاش یابد. شمع‌هایی که در عملیات اصلاح نشست برای تأمین نیروی عکس العمل جک استفاده می‌شوند، در طول انجام عملیات جک‌زنی دچار جایه‌جایی قائم در خلاف جهت نیروی اعمالی توسط جک‌ها برپی خواهند شد. بروز این نشست باعث تراکم خاک زیر نوک شمع می‌شود و احتمال جایه‌جایی سازه بعد از اصلاح نشست را کاهش می‌دهد.

واژگان کلیدی: سازه بتُنی، نشست نامتقارن پی، اندرکنش خاک - سازه، اصلاح نشست، جک‌زنی، مطالعه عددی.

۱. مقدمه

معمولًا هر سازه بعد از احداث، در طول عمر خود دچار مقداری نشست می‌شود. برای پیشگیری از آسیب‌ها، مهندسین موظف هستند از نشست سازه‌ها جلوگیری نموده و یا طراحی را طوری انجام دهنده که نشست سازه در محدوده مجاز باشد. گاهی بنا به دلایل متعدد، خاک زیر سازه عملکرد خود را از دست داده و نشست سازه به حدی می‌رسد که روند سرویس دهی سازه با مشکل مواجه می‌شود.

حالت برج تاریخی پیرا، در شهر پیزای ایتالیا که با شنیدن نام آن عبارت کچشیدگی سازه به ذهن خطور می‌کند، در سال ۱۱۷۳ م. شروع شد و در سال ۱۲۵۰ م. با ۵۷ متر ارتفاع تکمیل گردید. در طول این زمان، روند کچشیدگی آن ادامه داشت تا در سال ۱۹۶۲ م. میزان انحراف آن به ۵/۵ درجه رسید. معماران پیشنهاد دادند مقداری از خاک زیر قسمت کمتر نشست کرده حفاری شود تا تحت وزن برج از میزان انحرافش کاسته شود.^[۱] در سال ۱۹۹۰ میزان انحراف به حدی رسید که دسترسی به محیط اطراف برج ممنوع اعلام شد و مجددًا با حفر چاه‌هایی با قطر کم قسمتی از خاک زیر پایه برج در قسمت کمتر نشست نموده در دو مرحله به ترتیب با حجم ۷ و ۳۸ مترمکعب خارج شد. این عملیات تا سال ۲۰۰۱ م. ادامه داشت و موفقیت آمیز بود.^[۲]

در روش تزریق، مصالح پایه سیمانی یا شیمیایی با فشار به داخل متأذن موجود در توده خاک و سنگ وارد می‌شود تا مشخصات مکانیکی خاک بهبود یابد. از این روش‌های مختلف تزریق، تزریق تراکمی برای اصلاح نشست سازه‌ها به کار می‌رود. طرح اختلاط تزریق تراکمی طوری است که به حفرات موجود در خاک نفوذ نکند و

معمولًا هر سازه بعد از احداث، در طول عمر خود دچار مقداری نشست می‌شود. برای پیشگیری از آسیب‌ها، مهندسین موظف هستند از نشست سازه‌ها جلوگیری نموده و یا طراحی را طوری انجام دهنده که نشست سازه در محدوده مجاز باشد. گاهی بنا به دلایل متعدد، خاک زیر سازه عملکرد خود را از دست داده و نشست سازه به حدی می‌رسد که روند سرویس دهی سازه با مشکل مواجه می‌شود. بحرانی زمانی رخ می‌دهد که نشست سازه غیریکنواخت بوده و سازه کج شود. در این حالت، ترک و خرابی در تأسیسات و المان‌های سازه‌یی بروز می‌نماید. عموماً افراد، حاضر به استفاده از این ساخته‌ها نبوده و همسایه‌ها و سازه‌های مجاور آنها در معرض خطر قرار می‌گیرند. عمدتاً، مالکین سازه‌های کج شده به دلایل اقتصادی تمایلی برای تخریب و نوسازی ندارند و در مورد سازه‌های با قدمت تاریخی تخریب و نوسازی امکان‌پذیر نمی‌باشد.^[۳]

بدین منظور، محققین راهکارهای مختلفی پیشنهاد داده‌اند که قدریابی ترین آنها اصلاح نشست به روش حفاری^۱ و بعد انواع روش‌های تزریق^۲ و سپس تکمیل‌وزیری جک‌های هیدرولیکی^۳ می‌باشد. اخیراً محققین با تلفیق روش اصلاح نشست

حفاری و تکمیل‌وزیری پایپ جک‌زنی روش نوینی به اسم روش اصلاح نشست

* نویسنده مستول تاریخ: دریافت ۲/۱۱/۱۳۹۸، اصلاحیه ۱۴/۴/۱۳۹۹، پذیرش ۵/۲۷/۱۳۹۹.

DOI:10.24200/J30.2020.55141.2705

Archive of SID



شکل ۱. وضعیت برج‌های مانزونی قبل و بعد از عملیات جک‌زنی.

تیرهای عرضی، به فونداسیون جدید منتقل و عملیات جک‌زنی انجام می‌گرفت. اما بعد از حفر میکروپایل‌ها به دلایل اقتصادی ادامه‌ی طرح متوقف شد. بعد از ۱۱ سال به دلیل اصطکاک ایجاد شده توسط میکروپایل‌ها، زمین زیر پروژه مقاومت رو روند افزایش نشست. تقریباً متوقف شده بود. بنابراین، در پیشنهادی جدید جک‌ها بر روی کلاهک‌های بتئی میکروپایل‌ها قرارگرفت و عملیات جک‌زنی با موقوفت انجام شد. شکل ۱ وضعیت سازه‌ها را قبل و بعد از عملیات اصلاح نشست نشان می‌دهد. از جمله روش‌های پرکاربرد در اصلاح نشست سازه، روش جک‌زنی است که در محیط‌های شهری قابل بوده و در مراحل اصلاح نشست امکان سرویس دهی سازه وجود دارد. در نواحی شمال شرقی تبریز، به دلیل وجود لایه‌های خاک رسیده و بالا بودن تراز آب زیرزمینی، تعدادی از سازه‌ها در اثر نشست های مقاومت و نامتقاضان دچار آسیب شده‌اند. نشست نامتقاضان برخی از این سازه‌ها را می‌توان اصلاح نمود و سازه را به حالت قائم درآورد.

بررسی پارامترهای مؤثر در عملیات جک‌زنی هدف اصلی این پژوهش است. بدین منظور اصلاح نشست نامتقاضان سازه بتئی مصالح ۸، ۶ و ۴ طبقه به روش جک‌زنی در نرم افزار المان محدود Midas GTS NX مدل‌سازی شده و نتایج جابه‌جایی پی سازه‌ها قبل و بعد از عملیات اصلاح نشست، تعیین نیروی لازم و موقعیت قرارگیری جک‌ها، تأثیر احداث شمع‌های عکس‌العمل بر جابه‌جایی پی و تأثیر عملیات جک‌زنی بر جابه‌جایی این شمع‌ها ارائه شده است.

۲. اصول اصلاح نشست سازه به روش جک‌زنی

در این روش قسمتی از یک ساختمان با تمام آن بر اساس میزان و حالت نشست سازه با استفاده از نیروی جک بالا برده می‌شود. عملکرد جک‌ها می‌تواند به صورت کنترل نیرو یا جابه‌جایی باشد.^[۱] معمولاً جک‌ها در زیر المان‌های برابر طبقه اول سازه یا پی قرار داده می‌شوند که نیازمند تخریب بخشی از دیواره‌ها یا قسمت‌هایی از پی سازه می‌باشد.^[۱۲] جک‌ها برای بلند کردن سازه نیاز به تکیه‌گاهی برای ایجاد نیروی عکس‌العمل دارند که این تکیه‌گاه به یکی از روش‌های زیر ایجاد می‌شود:^[۱۳]

۱. جک را روی پی قرار داده و نیروی عکس‌العمل از طریق خود پی تأمین می‌شود. سرعت اجرای این روش بالا بوده لیکن برای ساختمان‌های کوچک و با آسیب کم مناسب است.
۲. اگر بستر خاکی در اطراف و زیر پی مقاوم باشد، می‌توان نیروی عکس‌العمل را از طریق زمین زیر سازه تأمین نمود.

یا با خاک مخلوط نشود و فقط حجم حفرات خالی را کاهش داده و باعث تراکم محیط شود.^[۷]

براساس گزارش چنگ و همکاران، یک سازه ۸ طبقه در تایوان به علت عملیات گودبرداری در جنوب غربی سازه، دچار نشست نامتقاضان شده بود. لایه‌های خاک زیر پی گستردۀ این سازه تا عمق ۲ متر از ماسه لایدار و از عمق ۲ متر به بعد از رس لایدار بسیار نرم تشکیل شده بود. از بین گزینه‌های مختلف، روش تزریق تراکمی در دو مرحله برای اصلاح نشست این سازه انتخاب شد. در مرحله اول، ۵۰۸ مترمکعب دوغاب سیمانی کنگر از طریق ۳۵ لوله تزریقی از روی پی به عمق ۲ الی ۹ متر زیر سازه در طول ۴۰ روز تزریق شد. هدف از این مرحله، ایجاد یک پایه محکم برای تأمین عکس‌العمل فشار تزریق مرحله دوم بوده است. در مرحله دوم، دوغاب زودگیر به حجم ۱۳۴ مترمکعب و از طریق همان لوله‌های تزریقی تا عمق ۲ متر زیر سازه در طی ۱۲ روز تزریق شد. نهایتاً تحت عملیات تزریق، نزدیک‌ترین ستون سازه به عملیات گودبرداری با بیشترین میزان نشست، به میزان ۱۵/۵۵ سانتی‌متر به سمت بالا جابه‌جا شد.^[۸]

روش اصلاح نشست با حفر خاک، امروزه با ترکیب حفاری و تکنولوژی پایپ جک‌زنی موردنموده و تحت عنوان روش میکروتونلینگ شناخته می‌شود. در این روش، با احداث میکروتونل‌هایی، خاک زیر قسمت نشست نکرده سازه خارج شده و سازه تحت اثروزن خود با اعمال بار به سمتی که حجم خاک آن در اثر حفاری توپل‌ها کاهش یافته متمایل می‌شود.^[۹] این روش در مرحله تحقیقات بوده وارد فاز اجرایی نشده است. به علت نیاز به احداث شفت‌های ورود و خروج برای حفاری توپل در دو سوی سازه، استفاده از این روش در محیط‌های متراکم توصیه نمی‌شود.^[۱۰] توفیق و عید^[۱۱] و رحمانی^[۱۲]، اصلاح نشست سازه‌ها به روش میکروتونل را به روش اجزای محدود بررسی کردند.

در طول ساحل شهر سانتوس بразیل، به علت وجود لایه‌های از رس نرم زیر لایه ماسه متراکم، صدها برج دچار نشست تحکیمی و نامتقاضان شده‌اند. ماقنی و گونچالو^[۱۳] به بررسی دو سازه بتئی ۵۷ متری مجاور و کج شده در این شهر پرداختند. عمق پی این سازه‌ها ۲ متر بوده و به علت صلبیت زیاد سازه، کل سازه همراه پی نشست کرده و ترک‌های چندانی در سازه‌ها مشاهده نشده بود. برای اصلاح نشست هر یک از ساختمان‌ها یک روش اختصاصی پیشنهاد شد که روش اصلاحی برای برج اول شامل مراحل زیر بود:

۱. حفر ۱۶ شمع بتئی با قطرهای ۱/۰ الی ۱/۴ متر و طول ۵۵ متر در طرفین پی موجود که به عمق لایه‌های سخت تر رسیدند.

۲. انتقال بار سازه به شمع‌های حفاری شده توسط تیرهای تبدیل که شامل هفت تیر اصلی و تیرهای فرعی انتقال دهنده بار پایه‌های غیر همتراز با تیرهای اصلی می‌باشد.

۳. قرار دادن ۱۴ جک هیدرولیکی بین تیرهای اصلی و بلوك شمع‌ها که ظرفیت جک‌ها بین ۴۰۰ تا ۹۰۰ تن بر اساس وزن قسمتی که می‌باشد بلند شود. متغیر انتخاب شد.

برج اول با بیشترین نشست ۲/۱ متر بعد از عملیات جک‌زنی به حالت قائم خود رسید. عملیات اجرای شمع‌ها و تیرها با گام‌بندی و سرعت تعیین شده‌ی صورت پذیرفت تا حفاری شمع‌ها نشست سازه را بیش از پیش افزایش ندهد. تمام مراحل عملیات جک‌زنی با انحراف سنج‌ها تحت کنترل بوده است. چون موقعیت برج دوم امکان استفاده از راهکار قبل را نمی‌داد، محققین راهکار جدیدی را بررسی کردند. در این روش درون پی موجود میکروپایل‌هایی با عمق ۵۵ متر حفر و بار سازه به وسیله

جدول ۱. ابعاد المان های سازه بی ساختمان (cm).

سازه هی ۸ طبقه		سازه هی ۶ طبقه		سازه هی ۴ طبقه		طبقه	
ستون	تیر	ستون	تیر	ستون	تیر	ستون	تیر
۵۰ × ۴۵	۵۰ × ۵۰	۴۵ × ۴۰	۴۵ × ۴۵	۴۰ × ۳۵	۴۰ × ۴۰	۴۰ × ۳۵	۴۰ × ۴۰
۴۵ × ۴۰	۴۵ × ۴۵	۴۰ × ۳۵	۴۰ × ۴۰	۳۵ × ۳۰	۳۵ × ۲۵	۳۵ × ۳۰	۳۵ × ۲۵
۴۰ × ۳۵	۴۰ × ۴۰	۳۵ × ۳۰	۳۵ × ۳۵	-	-	-	-
۳۵ × ۳۰	۳۵ × ۳۵	-	-	-	-	-	-

جدول ۲. مشخصات مصالح بتئی مورد استفاده در پی و المان های سازه بی.

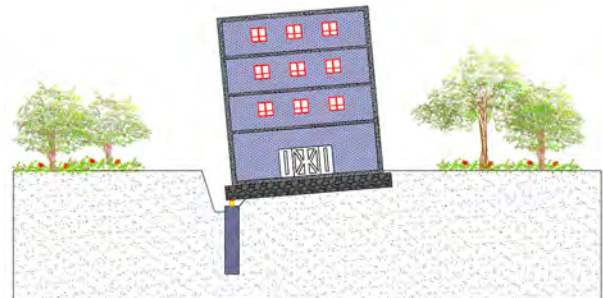
$\gamma(kN/m^3)$	$E(kN/m^3)$	u	$f_c(kN/m^2)$	$f_y(kN/m^2)$	$f_{ys}(kN/m^2)$
۲۵۰	$2,3 \times 10^7$	۰,۲	$2,5 \times 10^4$	4×10^5	3×10^5

جدول ۳. بارهای وارد بر سازه.

محل	مرده	پاره شن	دیوار	زنده	بارش	اعمال بار
	(kN/m²)	(KN/m²)	(kN/m)	(kN/m)	(kN/m³)	
طبقات	۴/۴	۱/۳	۶/۳	۲/۰	-	-
بام	۴/۴	-	۲/۲	۱/۵	۱/۰	-
پارکینگ	۵/۰	-	-	-	-	-

مدل سازی، تحلیل و طراحی شدند. پلان طبقات با طول ۱۶,۰ متر و عرض ۱۰,۰ متر و پلان پی گسترده با طول ۱۷,۰ و عرض ۱۱,۰ متر برای هر سه سازه یکسان انتخاب شده و ارتفاع هر طبقه سازه ها ۳,۰ متر انتخاب شده است (شکل ۳). انتخاب پلان ثابت امکان مقایسه تأثیر روش جک زنی در پروژه های اصلاح نشست سازه های کوتاه و بلند مرتبه را فراهم می آورد. بر اساس مشخصات فنی و مشاهدات مصالح در ناحیه مورد مطالعه، عموماً از پی های سطحی گسترشده برای سیستم پی سازه ها استفاده می شود. در مطالعه حاضر برای هر سه سازه معرفی شده یک پی گسترده با ضخامت ۱,۰ متر در نظر گرفته شده است.

با توجه به تعداد طبقات سازه بی، ابعاد المان های سازه بی مطابق جدول ۱ متغیر انتخاب شد. جدول ۲ مشخصات مصالح مورد استفاده در مدل سازی سازه ها و پی آنها را نشان می دهد که تابع مدل رفتاری الاستیک هستند. برای بارگذاری سازه ها، علاوه بر مقادیر جدول ۳ که نحوه بارگذاری آنها را بر اساس مبحث ۶ مقررات ملی ساختمان مشخص می نماید، وزن المان های سازه ها بر اساس ابعاد و مصالح آنها توسط نرم افزار Midas GTS NX به مدل عددی اعمال و در مراحل تحلیل مدنظر قرار گرفته است.^[۱۸]

شکل ۲. تأمین نیروی عکس العمل جک توسط شمع جهت اصلاح نشست.^[۱۴]

۳. در صورتی که نتوان نیروی عکس العمل را از طریق پی موجود یا زمین تأمین نمود برای ایجاد نیروی عکس العمل جک، یک شمع میکروپایل یا المان جدید در زمین قرار داده می شود. استفاده از این روش علاوه بر متوقف نمودن روند کچ شدگی سازه قبل از عملیات جک زنی، احتمال نشست پی را در آینده کاهش می دهد و از اطمینان بالایی برخوردار است (شکل ۲).

۳. مدل سازی عددی

در مطالعه حاضر سازه ها بعد از مدل سازی و تحلیل در نرم افزار Etabs برای مدل سازی Midas GTS NX مدل اندرکش مسئتم خاک - سازه و عملیات جک زنی به نرم افزار NX منتقل شده اند.

۱.۳. هندسه و مصالح سازه و پی

سه ساختمان ۴، ۶ و ۸ طبقه بتئی با سیستم سازه بی قاب خمشی متوسط و سیستم باربر سقف تیرچه بلوك با کاربری مسکونی با فرض احداث در شهر تبریز و رعایت ضوابط مباحثت ۷، ۶ و ۹ مقررات ملی ساختمان^[۱۷-۱۵]، توسط نرم افزار المان محدود

در این مطالعه، از اطلاعات حاصل از چهار گمانه، حفاری شده در کوی فرشته تبریز استفاده شده است. دو عدد از گمانه ها به منظور احداث یک سازه مسکونی حفاری شده و دو عدد دیگر از داده های مطالعات علیزاده مجد و دیری استفاده شده است.^[۱۹] رفتار لایه های خاکی با مدل موهر - کولمب و بر اساس مشخصات ژئوتکنیکی ارائه شده در جدول ۴ مدل سازی شده است.

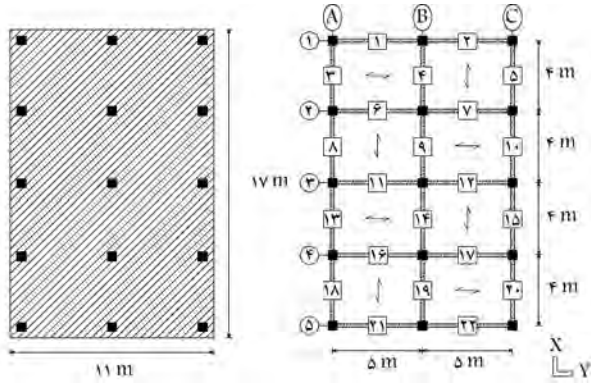
شکل ۴ تصویر هوایی کوی فرشته در مجاورت اتوبان پاسداران را نشان می دهد. مطابق شکل ۵ خاک مورد مطالعه از چندین لایه تشکیل شده است که عموماً شامل رس سیلت دار ریزدانه می باشند و لایه های ماسه ریزدانه بین آنها قرار گرفته

جدول ۴. مشخصات لایه‌های خاک مورد مطالعه.^[۱۹]

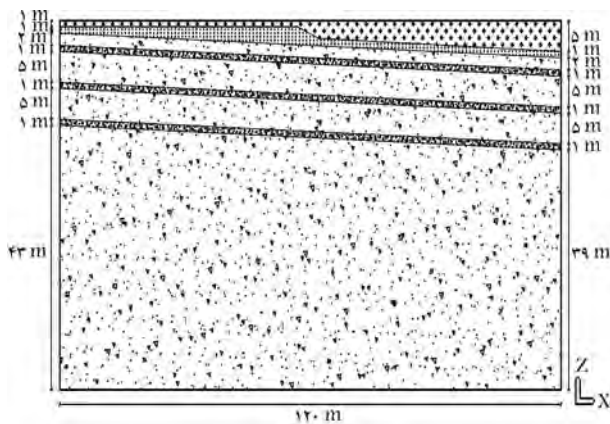
K.	e _o	C _s	P _c (kN/m ³)	k _{ayz} (m/sec)	γ _{sat} (kN/m ³)	γ	E (kN/m ³)	ϕ (deg)	c (kN/m ³)	لایه	نوع خاک	
۱	۰,۹۱	۰,۷۲	-	-	1×10^{-7}	۱۷,۰	$17,0$	۵,۰	۲۲,۰	خاک دستی	۱	
۲	۰,۷۴	۰,۶۵	۰,۰۱	۰,۱۴	۶,۰	1×10^{-7}	۱۹,۳	۱۵,۸	13×10^3	۱۵,۰	رس سیلیتی ماسه‌دار	۲
۳	۰,۸۹	۰,۶۹	۰,۰۲	۰,۱۵	۵۵	1×10^{-7}	۲۰,۱	۱۵,۶	15×10^3	۶,۰	سیلیت رسی	۳
۴	۰,۴۷	۰,۶۸	۰,۰۱	۰,۱۳	۵۰	1×10^{-7}	۲۰,۲	۱۶,۰	12×10^3	۲۲,۰	ماسه ریزدانه سیلیتی	۴
۵	۰,۸۶	۰,۶۱	۰,۰۲	۰,۱۲	۵۷	1×10^{-8}	۲۰,۶	۱۶,۹	17×10^3	۷,۵	رس سیلیتی	۵
۶	۰,۴۷	۰,۶۸	۰,۰۱	۰,۱۳	۵۰	1×10^{-7}	۲۰,۲	۱۶,۰	12×10^3	۲۲,۰	ماسه ریزدانه سیلیتی	۶
۷	۰,۸۴	۰,۶۲	۰,۰۳	۰,۱۳	۵۰	1×10^{-8}	۲۰,۸	۱۶,۶	2×10^3	۹,۰	رس سیلیتی	۷
۸	۰,۴۷	۰,۶۸	۰,۰۱	۰,۱۳	۴۸	1×10^{-7}	۲۰,۳	۱۶,۰	13×10^3	۲۲,۰	ماسه ریزدانه سیلیتی	۸
۹	۰,۹۱	۰,۶۲	۰,۰۴	۰,۱۴	۴۲	1×10^{-8}	۲۱,۲	۱۶,۷	3×10^3	۵,۰	رس سیلیتی	۹



شکل ۴. تصویر هوایی کوی فرشته تبریز برگرفته از Google Maps.



شکل ۳. پلان تیپ طبقات سازه و پی گسترده.



شکل ۵. تصویر شماتیک لایه‌های خاک مورد مطالعه.

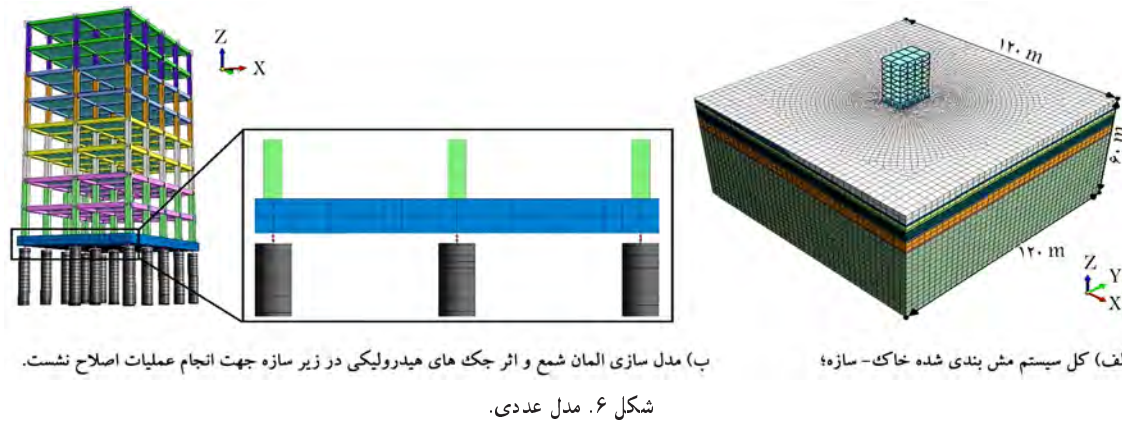
شکل ۱۶ مدل مشیندی شده سازه ۸ طبقه را نشان می‌دهد که ۶۰ متر عمق و ۱۲۰ متر عرض و طول دارد. همچنین مدل نهایی دارای بیش از ۷۱۰۰۰ المان است که به دلیل تعداد زیاد المان‌ها، برای مراحل تحلیل از رایانه دارای قدرت پردازش بالا متعلق به دانشگاه شهید مدنی آذربایجان استفاده شده است. برای مدل‌سازی سیستم جک‌زنی برای اصلاح نشست سازه کم شده، به علت سستی خاک زیر پی، از المان‌هایی همچون شمع بتنی در جاریز برای تأمین نیروی عکس‌عمل جک‌ها استفاده شده و بدین منظور از المان‌های یک بعدی Pile استفاده شده است.

و سطح آب زیرزمینی در عمق ۱,۶ متری سطح زمین قرار دارد. شبکه‌دار بودن لایه‌های خاکی، بالا بودن سطح آب زیرزمینی و وجود میان لایه‌های ماسه‌بی، استمداد بروز نشست تحکیمی در منطقه را به شدت افزایش داده و به دلایل اقتصادی کارفرمایان تمايلی به احداث شمع‌های عمیق، جهت کاهش نشست، ندارند.^[۱۹]

۳.۳. مدل‌سازی عددی

موقعیت مرزهای مدل طوری انتخاب شده است که وجود مرزها تأثیری در میدان‌های تمدن و تغییرشکل نداشته باشد. همچنین شرایط مرزی با استفاده از تکیه‌گاه‌های گیردار در کف مدل، تکیه‌گاه‌های غلتکی در کناره‌های آن و آزاد بودن مرزهای سطح بالایی مدل، مشابه شرایط واقعی زمین فرض شده است.^[۲۰]

Midas GTS NX نرم‌افزار برای شبکه‌بندی، دارای دو نوع مش با نام‌های هیبرید و ترا می‌باشد. مش هیبرید ترکیبی از المان‌های چهار، پنج و شش وجهی بوده و مزیت آن دقت بالا در محاسبه تمدن و تغییرشکل‌ها می‌باشد. همچنین مش ترا صرفاً از المان‌های چهار وجهی تشکیل شده و با وجود اینکه در اندازه برابر مش، المان‌های بیشتری نسبت به مش هیبرید تولید می‌کند، ولی زمان کمتری برای آنالیز مدل احتیاج دارد. علاوه بر نوع مش، اندازه مش‌ها تیز در تحلیل عددی تأثیرگذار هستند.^[۲۱] در این مطالعه، مش هیبریدی برای شبکه‌بندی انتخاب شده و اندازه مش‌ها در نواحی مجاور سازه و پی، ریز بوده و با فاصله گرفتن از مرکز مدل اندازه آنها به تدریج تا ۳ متر افزایش می‌یابد.



جدول ۵. مقایسه نتایج حاصل از ابزاربندی و مدل عددی.

جایه جایی ستون $P_{24}(cm)$	ابزاربندی	Midas GTS NX
شروع عملیات جک زنی	-۲۱۰	-۲۲۰
اتمام عملیات جک زنی	-۳,۳۳	-۰,۲۱

به منظور تعیین ظرفیت باربری شمع های عکس العمل، آزمایش بارگذاری استاتیکی با توجه به اصول ذکر شده برای این آزمایش در مراجع به روش عددی مدل سازی شده است.^[۲۳, ۲۴] ظرفیت باربری نهایی این شمع ها برابر $N = ۳۳۵۰\text{ kN}$ است، بنابراین، مجموع بارستون های سازه و نیروی عکس العمل جک وارد بر شمع ها باید کمتر از مقدار فوق باشد. مطابق شکل ۶ ب که نحوه قرارگیری و مدل سازی شمع های عکس العمل و جک های اصلاح نشست را نشان می دهد، یک فاصله سانتی متری بین پی و سطح بالای شمع ها، هم اندازه با ابعاد جک های هیدرولیکی، برای قرارگیری جک ها لحاظ شد. جهت مدل سازی اثر جک های هیدرولیکی ابتدا با آنالیز حساسیت نیروی مورد نیاز جک زنی برای اصلاح نشست هر بخش از سازه تعیین شد و برکف پی اعمال می شود.^[۲۴] برای در نظر گرفتن نیروی عکس العمل جک ها بر روی شمع، نیرویی برایر و هم راستای نیروی تعیین شده و در خلاف جهت آن بر شمع ها اعمال می شود. نیروی عکس العمل حاصل از عملیات جک زنی، باعث بروز اندازکی نشست در شمع ها خواهد شد.^[۲۵]

۴. صحبت سنجی

روش مدل سازی مطالعه حاضر بر پایه مطالعات مافی و گونچالوز^[۲۵, ۱۰] است که تحقیقات و اقدامات ایشان در بخش مقدمه به اختصار معرفی شد. جهت صحبت سنجی، سازه اول این مطالعه انتخاب و مراحل مدل سازی و تحلیل مدل صحبت سنجی با در نظر داشتن شرایط مخصوص پروژه مورد نظر و مطابق مراحل معرفی شده در بخش ۴-۳ صورت گرفت.

جدول ۵ نتایج تغییرات جایه جایی ستون P۲۳ سازه الف شکل ۱ را که دچار ۲/۱ متر نشست قائم شده بود، در شروع و پایان مراحل اصلاح نشست جک زنی برای داده های حاصل از ابزاربندی در مطالعات مافی و گونچالوز^[۱۰, ۱۱] و مدل عددی صحبت سنجی توسط نرم افزار Midas نشان می دهد. ملاحظه می شود که تطابق خوبی بین داده های اندازه گیری شده و نتایج حاصل از تحلیل های عددی وجود دارد. شکل ۷الف مدل عددی ساخته شده و شکل های ۷ ب و ۷ج به ترتیب میزان جایه جایی سازه را بعد از گذشت دوره نشست تحکیمی و بعد از اتمام عملیات جک زنی نشان می دهند.

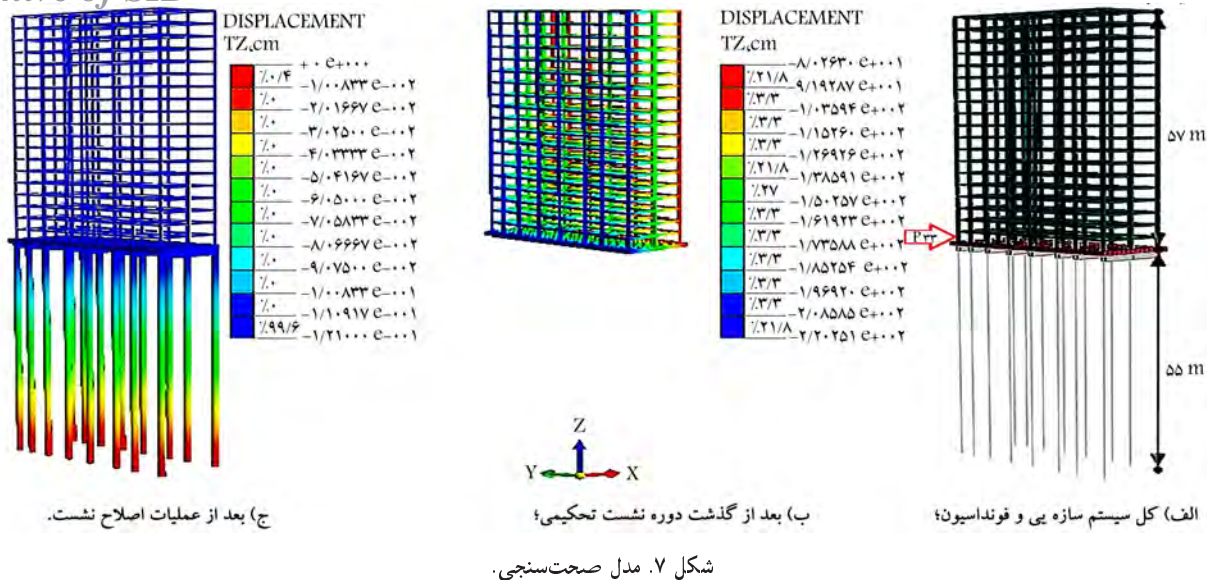
۵. نتایج

آئین نامه های ژئوتکنیکی تنها معیار استاندارد برای تشخیص لزوم اجرای عملیات اصلاح نشست می باشند. بنابراین، بعد از بررسی شرایط قید شده در مبحث ۷ مقررات ملی ساختمان^[۱۶] برای نشست پی های سطحی، محل قرارگیری جک های اصلاح نشست و احداث شمع های عکس العمل در زیر پی توسط مطالعه عددی مشخص می شود. تعیین نیروی جک های اصلاح نشست نیازمند انجام آنالیزهای حساسیت متعدد است، تا بتوان تمام قسمت های پی را به شکل مناسب و با حفظ صلابت پی و در جهت اصلاح نشست جایه جای کرد. در پایان مراحل جک زنی، شمع های عکس العمل جزئی از سیستم خاک، پی و سازه خواهند شد. بنابراین، بررسی رفتار

با توجه به استعداد نشست تحکیمی خاک منطقه، برای هر سه سازه، ابتدا آنالیز تحکیم شامل مراحل ساخت سازه و یک دوره نشست تحکیم سه ساله صورت گرفته است. در مرحله تحکیم به علت خروج آب زیرزمینی، خاک زیر پی نشست می نماید. در گام بعد، با در نظر گرفتن نتایج آنالیز تحکیم، آنالیز تنش برای مدل سازی عملیات اصلاح نشست انجام گردید. به علت مرحله بی بودن احداث سازه، شمع های عکس العمل و عملیات جک زنی برای هر دو آنالیز تحکیم و شش از روش تحلیل ساخت مرحله بی استفاده شده و مراحل تحلیل مدل ها به شرح زیر می باشد:

الف) آنالیز تحکیم

- فعال سازی لایه های خاک و معرفی تراز آب زیرزمینی؛
 - احداث پی سازه در مدت زمان یک ماه؛
 - احداث طبقات سازه در مدت زمان یک ماه به طور متوالی و در فازهای مجرزا.
 - مرحله تحکیم سه ساله بعد از اتمام مرحله ساخت سازه.
- ب) آنالیز تنش
- احداث ۱۵ شمع بتی در جاریز در زیر پی در راستای محور ستون ها؛
 - اعمال تدریجی اثر جک ها در حد فاصل شمع و پی سازه.



شکل ۷. مدل صحت‌سنگی.

۲.۵. تأثیر احداث شمع‌های عکس‌العمل بر نشست پی مطابق مطالب بیان شده در بخش ۳-۳، جهت تأمین نیروی عکس‌العمل جک‌ها باید شمع‌های بتی احداث شوند. شمع‌ها به علت وزن مصالح خود و اجرای درجا، نشست پی را زیاد می‌کنند. شکل ۱۱ میزان نشست پی سازه‌ها را بعد از احداث ۱۵ شمع در زیر محور ستون‌ها نشان می‌دهد. به علت حفظ فشار جانبی دیواره و کف چاهک حفر شده در روش انتخابی برای مدل‌سازی شمع بتی، احداث شمع‌ها تأثیر چندانی در افزایش نشست پی ندارد و مطابق شکل‌های ۸ الی ۱۰ و مقایسه نتایج آنها با شکل ۱۱ در هر سازه، احداث شمع‌های بتی حدود ۰/۵ سانتی‌متر نشست قائم در پی ایجاد می‌کند. این رویکرد مدل‌سازی، مطابق عملیات واقعی احداث شمع‌های در جاری‌بینی در خاک‌های سیست است که در مراحل حفر از رینگ‌های بتی و یا با استفاده از گل‌بتن‌وتی فشار جانبی دیواره‌های چاه حفر شده را حفظ می‌نمایند.^[۱۶]

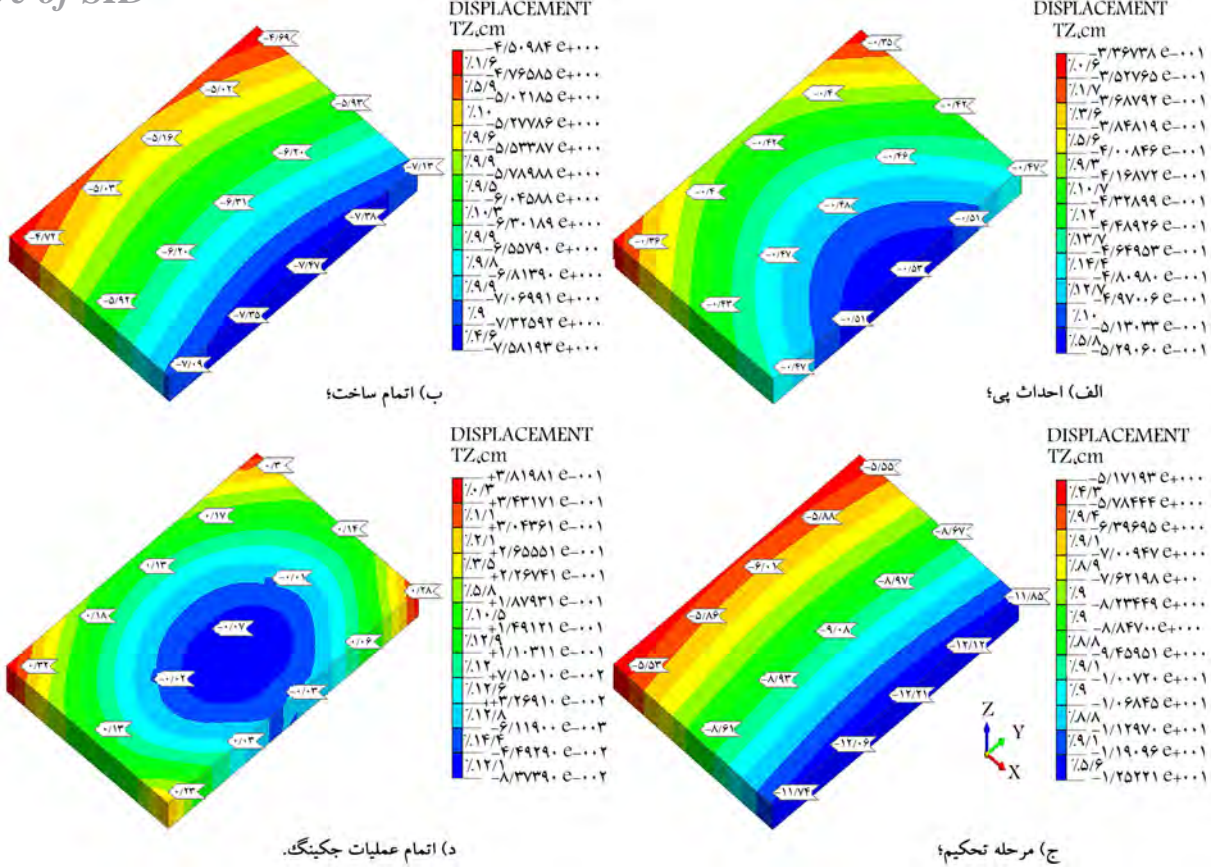
۳.۵. بررسی آینین‌نامه‌یی لزوم اصلاح نشست سازه‌ها
بر اساس جدول ۴-۴-۷ مبحث هفت مقررات ملی ساختمان، بیشینه‌ی نشست غیریکنواخت برای پی‌های نواری و گستردۀ احداث شده بر روی خاک رسی ۲/۵ سانتی‌متر است.^[۱۶] همچنین، مقادیر ۰/۵۰۰۴ الی ۰/۵۰۰۶۷ رادیان، به عنوان حداکثر مقدار مجاز چرخش پی و حد خرابی سازه‌های ساختمان‌های دارای اسکلت و مقادیر ۰/۰۰۳۳ الی ۰/۰۰۵۳ رادیان، به عنوان حد ایجاد ترک در ساختمان معرفی شده است. مقادیر نشست نامتقارن و اعوجاج پی هر سه سازه، بعد از اتمام مرحله تحکیم در جدول ۶ ارائه شد.

میزان نشست غیریکنواخت در تمام حالات مورد بررسی در محدوده غیرمجاز آینین‌نامه‌یی قرار می‌گیرد که در این شرایط سازه از محور قائم خود خارج شده و اصلاح سازه کج شده به آن انتلاق می‌شود. همچنین میزان نشست سازه ۸ طبقه در مزد خرابی المان‌های سازه‌یی قرار دارد که بحرانی ترین شرایط در بین سازه‌های مورد مطالعه می‌باشد. پی سازه ۶ طبقه بیش از حد ایجاد ترک اعوجاج داشته است و احتمال وجود ترک‌هایی در المان‌های سازه‌یی و غیرسازه‌یی آن بسیار بالا است، اما وضعیت اعوجاج پی سازه ۴ طبقه در پایین ترین حد بروز ترک قرار دارد و احتمال بروز ترک‌های عمیق و گستردۀ در این سازه بسیار پایین است.

و جابه‌جایی‌های احتمالی این شمع‌ها در طول مراحل عملیات اصلاح نشست از اهمیت بالایی برخوردار است.

۱.۵. جابه‌جایی پی‌ها قبل و بعد از عملیات جک‌زنی
در شکل‌های ۸ الی ۱۰ میزان جابه‌جایی نقاط اتصال ستون‌های سازه و پی به ترتیب در سازه‌های ۸، ۶ و ۴ طبقه در چهار مرحله احداث پی، بعد از اتمام مراحل ساخت سازه، بعد از اتمام دوره تحکیم سه ساله و بعد از اتمام عملیات اصلاح نشست جک‌زنی شاند داده شده است. شکل‌های ۸ الی ۹ و ۱۰ الف، جابه‌جایی نقاط پای ستون‌ها را بعد از احداث پی در مدت یک ماه نشان می‌دهند. در این مرحله بیشینه‌ی نشست نامتقارن پی حدوداً به ۰/۲ سانتی‌متر می‌رسد. با اتمام ساخت سازه، که زمان آن برای سازه‌های ۸، ۶ و ۴ طبقه به ترتیب هشت، شش و چهار ماه بوده است، نشست پی افزایش می‌یابد.

شکل‌های ۸، ۹ و ۱۰ د، کاتورهای نشست پی‌های مورد بررسی را بعد از اتمام مراحل عملیات اصلاح نشست نشان می‌دهد. براساس نتایج، با انجام عملیات جک‌زنی، نشست پی در دو طرف، تقریباً در یک تراز قرار می‌شوند. به دلیل شرایط زئوتکنیکی خاک، نشست سازه در راستای محور Y تقریباً یکنواخت و در راستای محور X غیریکنواخت می‌باشد. مطابق شکل‌های ۸ الی ۱۰، قبل از احداث سازه‌ها، خطوط تراز نشست نیم دایره‌هایی با مرکز تقریبی در محل ستون C-۳ تشكیل می‌شوند. با ساخت سازه‌ها و تکمیل مراحل تحکیم خاک، علاوه بر افزایش نشست پی، صلابت المان‌های سازه‌یی باعث افزایش عملکرد جابه‌جایی یکنواخت پی شده و شعاع انحنای کاتورهای نشست کاهش می‌یابد. بعد از اتمام مراحل اصلاح نشست، به دلیل تمرکز بار سقف‌های سازه در مرکز هندسی پلان، کاتورهای جابه‌جایی پی از شکل نیم دایره در شکل‌های ۸ الی ۱۰، به شکل دایره‌های هم مرکز در محدوده مرکز پی تغییر می‌نماید. بعد از اتمام عملیات جک‌زنی بیشینه‌ی اختلاف نشست دو طرف پی به ترتیب در سازه ۸، ۶ و ۴ طبقه به ۰/۴۳، ۰/۳۰ و ۰/۲۴ سانتی‌متر می‌رسد که مقادیری بسیار ناچیز می‌باشند و شرایط این آینین‌نامه تأمین می‌شود.



شکل ۸. جایه‌جایی نقاط اتصال ستون و پی سازه ۸ طبقه بر حسب سانتی‌متر بعد از:

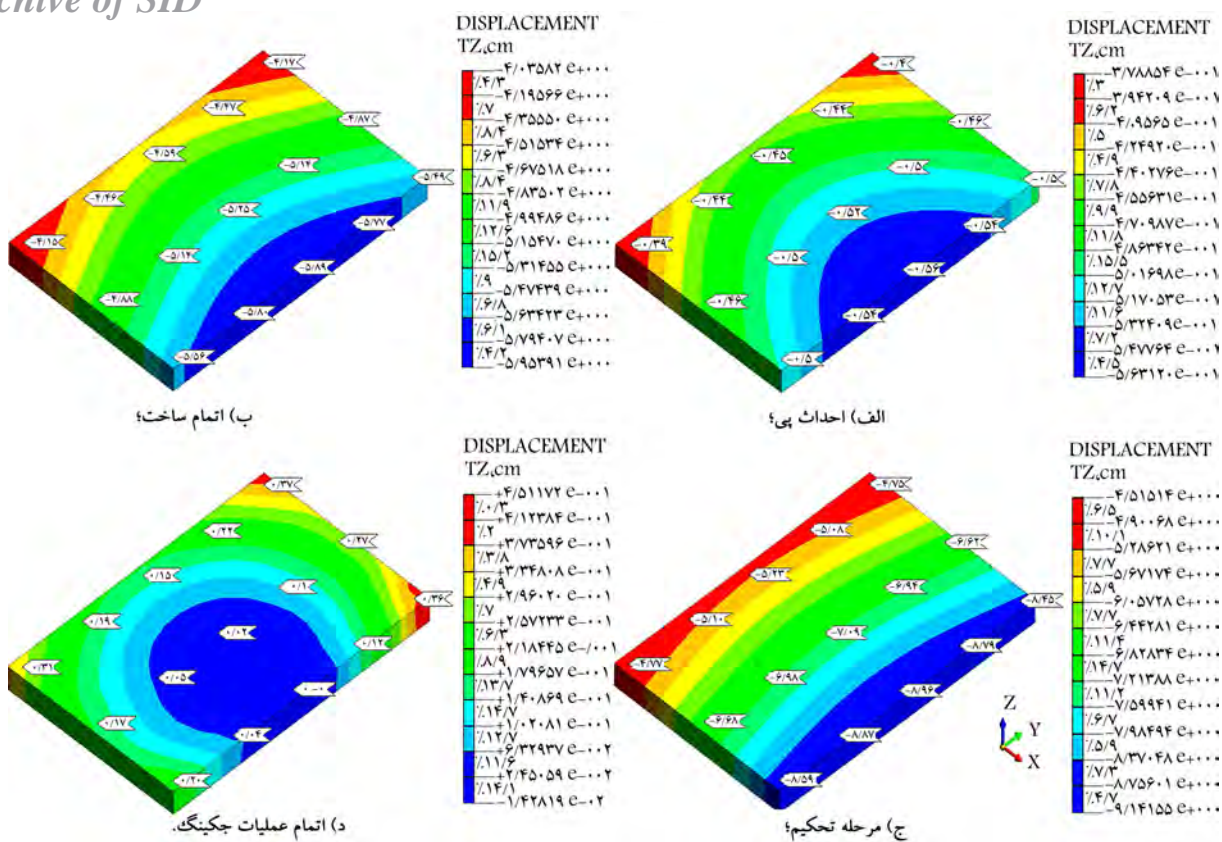
جدول ۶. مقایسه مقادیر نشست و اعوجاج پی بعد از تحکیم با مقادیر مجاز.

طبقات سازه	نشست پی (cm)	نشست پی (cm)			
		بیشینه	کمینه	نامتنازن (cm)	اعوجاج پی (رادیان)
۸	-۱۲,۵۲	-۵,۱۷	-۷,۳۵	۰,۰۰۶۷	غیرمجاز حد خرابی سازه‌یی
۶	-۹,۱۴	-۴,۵۱	-۴,۶۳	۰,۰۰۴۲	غیرمجاز بیش از حد ایجاد ترک
۴	-۵,۲۴	-۲,۷۷	-۲,۴۷	۰,۰۰۲۲	حد ایجاد ترک غیرمجاز

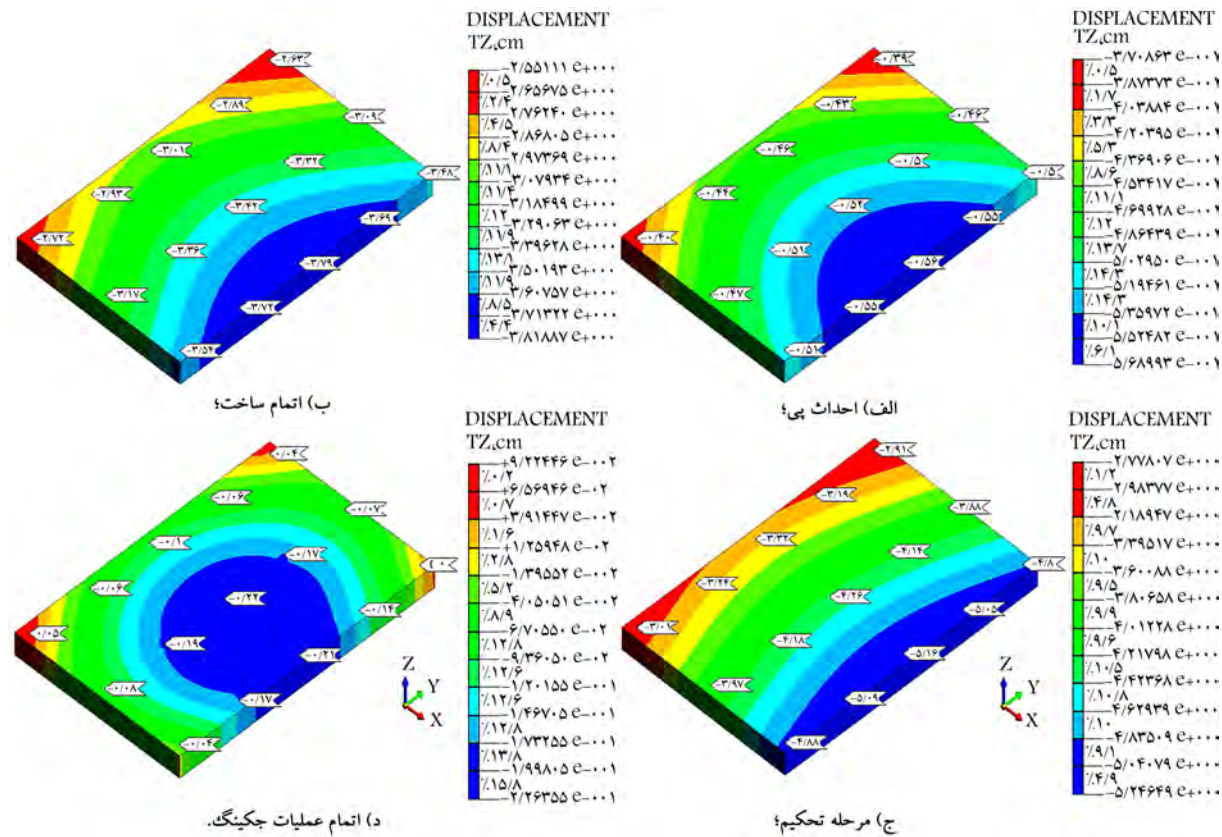
که نشان‌دهنده تمرکز تنش در راستای محل اتصال ستون و پی در کف آن است.

۵. تعیین نیروی جک براساس جایه‌جایی پی
اعمال نیروی جک به منظور اصلاح نشست تا مرحله‌یی ادامه پیدا می‌کند که اختلاف نشست دو طرف سازه به کمترین میزان خود برسد و برای نشست بیشتر پی تعویض نشود. با توجه به شکل‌های ۸، ۹ و ۱۰ می‌توان نشست پی را به سه قسمت زیاد در محور C، متوسط در محور B و کم در محور A پلان سازه تقسیم نمود. به منظور تعیین نیروی جک‌ها برای اصلاح نشست، تحلیل‌های متعدد به شکل سعی و خطأ برای هر کدام از سازه‌ها صورت گرفته است. جدول ۷ نیروی لازم جک برای اصلاح نشست هر قسمت از پی سازه‌های مورد مطالعه را نشان می‌دهد که به صورت مرحله‌یی و در ۲۰ گام بر پی سازه‌ها اعمال شده است.

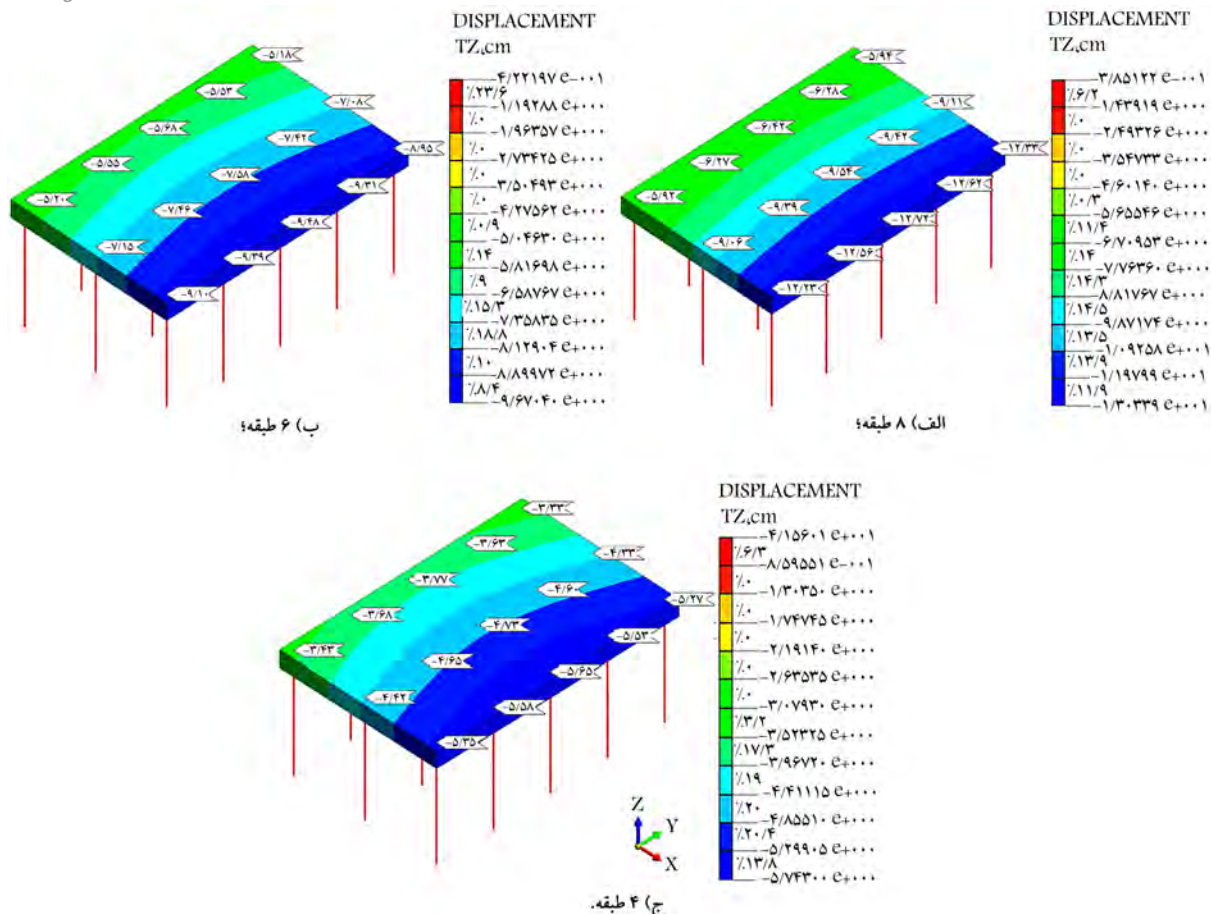
۴.۵. تعیین محل قرارگیری جک‌های اصلاح نشست
بعد از تعیین نیروهای وارده از سازه بر پی و محاسبه جایه‌جایی‌های نقاط مختلف آن، باید محل مناسب قرارگیری جک‌ها مشخص شود. بر اساس نتایج تحلیل‌ها، در محل اتصال ستون‌ها بر روی سطح پی، بیشترین تمرکز تنش ایجاد می‌شود. با وجود اینکه پی، قسمت عمده‌یی از تنش‌ها را جذب نموده و بر اساس میزان سختی و صلابت، تنش‌ها را به طور یکواخت‌تر در کف خود و روی حاک توزیع می‌نماید، اما مقدار تنش در نقطه متناظر محل اتصال ستون بر سطح پی در کف آن، از مقدار تنش در سایر نقاط کف پی بیشتر است.^[۷] بنابراین، قرار دادن جک‌ها در زیر فونداسیون و در راستای ستون‌های طبقه اول، مناسب خواهد بود.^[۱۱] شکل ۱۲ کاتورهای تنش سطح پی هر سه سازه مورد مطالعه را بعد از اتمام دوره تحکیم نشان می‌دهد. همچنین دیاگرام تغییرات تنش در کف هر پی در راستای محور مرکزی و عرضی آن، در این شکل آمده است.



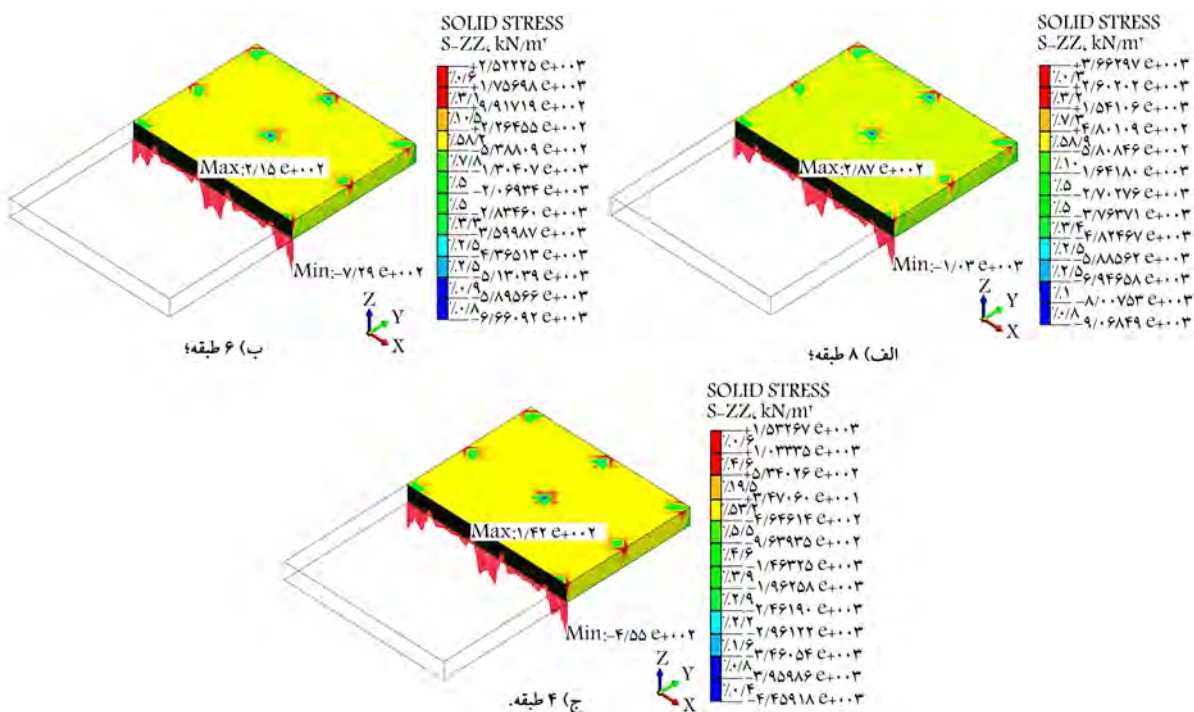
شکل ۹. جایه‌جایی نقاط اتصال ستون و پی سازه ۶ طبقه بر حسب سانتی متر بعد از:



شکل ۱۰. جایه‌جایی نقاط اتصال ستون و پی سازه ۴ طبقه بر حسب سانتی متر بعد از:



شکل ۱۱. نشست محل اتصال ستون‌های سازه و پی بعد از مرحله احداث شمع‌های عکس‌العمل بر حسب سانتی‌متر در سازه.



شکل ۱۲. تنش نقاط اتصال ستون‌های سازه و بی در سطح و کف فونداسیون بر حسب کیلونیوتن بر مترمربع در سازه.

Archive of SID

جدول ۷. تعیین نیروی جک‌های اصلاح نشت براساس جابه‌جایی بی.

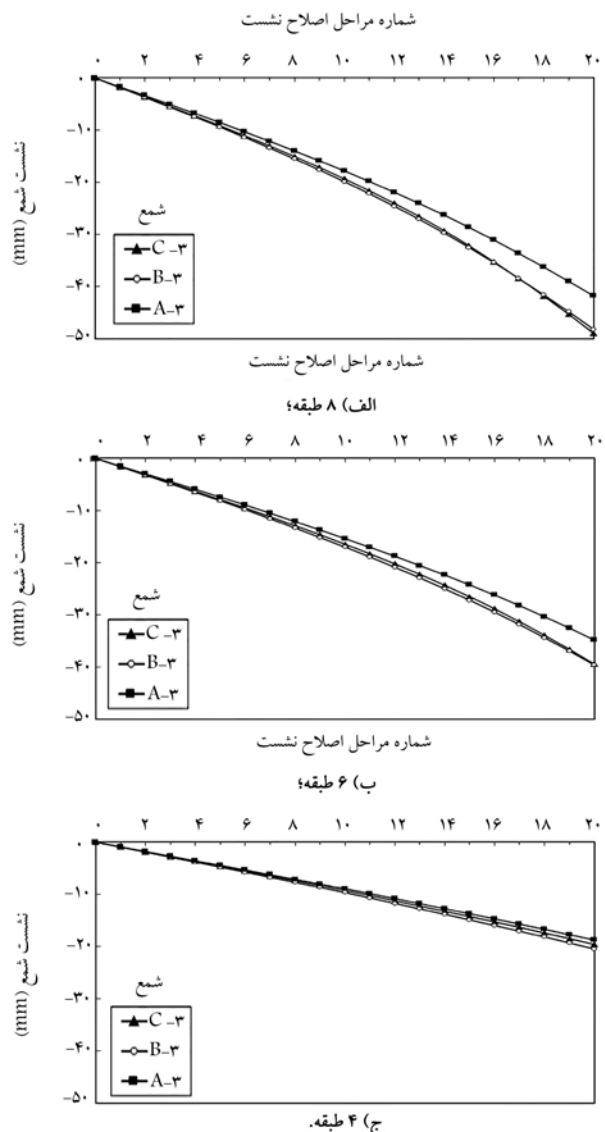
نیروی کل هر گام (kN)	سازه	محور پلان	بیشینه‌ی نشست (cm)	نیروی کل هر گام (kN)
۱۲۵	محور C	-۱۲/۲۱	۲۷۰۰	
۱۲۰	محور B طبقه ۸	-۹/۰۸	۲۴۰۰	
۹۰	محور A	-۶/۰۱	۱۸۰۰	
۱۱۵	محور C	-۸/۹۶	۲۲۰۰	
۱۰۵	محور B طبقه ۶	-۷/۰۹	۲۱۰۰	
۸۰	محور A	-۵/۲۳	۱۶۰۰	
۶۵	محور C	-۵/۱۶	۱۳۰۰	
۶۰	محور B طبقه ۴	-۴/۲۶	۱۲۰۰	
۵۵	محور A	-۳/۳۲	۱۱۰۰	

به عملت بیشتر بودن اختلاف نیروی لازم برای اصلاح نشت محور A پلان سازه با محور B و C در سازه‌های ۸ و ۶ طبقه، نشت نهایی شمع‌های واقع در محورهای B و C بیشتر از شمع‌های واقع در محور A می‌باشد. در سازه ۴ طبقه، برای اصلاح نشت محورهای A، B و C و A به ترتیب ۱۳۰۰، ۱۲۰۰ و ۱۱۰۰ کیلونیوتون نیروی برای جک نیاز است و به عملت کم بودن دامنه تغییرات نیروی جک‌ها، نشت‌هایی به وجود آمده در شمع‌های عکس‌العمل این سازه اختلاف زیادی با یکدیگر ندارند. براساس نتایج ارائه شده در شکل ۱۳، علیرغم بیشتر بودن نیروی جک‌های اصلاح نشت در محور C، به عملت بیشتر بودن تنش وارده بر پی در مرکز پلان سازه، فشردگی قسمت فوقانی شمع‌های قرار گرفته در محور B سازه‌های ۶ و ۴ طبقه اندکی بیشتر از شمع‌های قرار گرفته در محور C می‌باشد. با این وجود در سازه ۸ طبقه به عملت زیاد بودن نیروی جک‌های قرار گرفته در محور C سازه، نشت قسمت فوقانی شمع‌های قرار گرفته در محور مذکور اندکی بیش از شمع‌های محور B می‌باشد.

۶. نتیجه‌گیری

در این پژوهش، اصلاح نشت سازه‌های بتُنی به روش جک‌زنی و مطالعه رفتار پی‌های ساختمان‌های بتُنی ۸، ۶ و ۴ طبقه مطالعه شد. جمع‌بندی نتایج به دست آمده در مطالعه حاضر به شرح زیر است:

۱. اعمال تیرو توسط جک‌ها به منظور اصلاح نشت نامتقارن تا حدی ادامه پیدا می‌شوند، بعد از اصلاح کجی ساختمان جزئی از فونداسیون سازه خواهد شد و وظیفه انتقال بار سازه به لایه‌های مقاوم تر خاک را دارد. بنابراین، محاسبه جابه‌جایی و فشردگی احتمالی قسمت فوقانی شمع برای انجام یک طرح دقیق ضروری است. میران جابه‌جایی قائم شمع‌ها در مراحل عملیات جک‌زنی با افزایش نیروی اعمالی جک‌ها، روند افزایشی خواهد داشت. شکل ۱۳ جابه‌جایی قائم قسمت فوقانی شمع‌های عکس‌العمل C-۳، B-۳، A-۳، واقع در محور طولی شماره ۳ پلان سازه، را برای سه سازه مورد مطالعه نشان می‌دهد. در این شکل، نشت آنی شمع بعد از مرحله احداث آن برابر صفر و به عنوان مبدأ برای نمودار بررسی میران نشت شمع تحت عملیات جک‌زنی در نظر گرفته شده است. همچنین گام‌های انجام عملیات اصلاح نشت با شماره‌های ۱ الی ۲۰ مشخص شده‌اند که براساس جدول ۶ در هر مرحله نیروی مشخصی بر شمع‌ها اعمال می‌شود.
۲. به عملت حفظ فشار جانبی دیواره و کف چاهک حفر شده در روش انتخابی برای مدل‌سازی شمع‌های بتُنی تأمین کننده نیروی عکس‌العمل جک، احداث آنها تأثیر چندانی در افزایش نشت پی ندارد و نشت قائم در بی را در حدود ۵٪ سانتی‌متر افزایش می‌دهد.
۳. علاوه بر لزوم رعایت الزامات آینین‌نامه، مهمترین و مستندترین اطلاعات از وضعیت سازه کج شده را می‌بایست از شرایط کلی و ظاهری المان‌های سازه کسب کرد. گزارش‌های مهندسی و نظرات متخصصین بعد از مشاهده و تحلیل



شکل ۱۳. نشت شمع‌های عکس‌العمل تحت عملیات اصلاح نشت در سازه.

۶.۵. نشت شمع عکس‌العمل در اثر عملیات جک‌زنی

شموع‌هایی که در عملیات جک‌زنی برای تأمین نیروی عکس‌العمل جک‌ها استفاده می‌شوند، بعد از اصلاح کجی ساختمان جزئی از فونداسیون سازه خواهند شد و وظیفه انتقال بار سازه به لایه‌های مقاوم تر خاک را دارد. بنابراین، محاسبه جابه‌جایی و فشردگی احتمالی قسمت فوقانی شمع برای انجام یک طرح دقیق ضروری است. میران جابه‌جایی قائم شمع‌ها در مراحل عملیات جک‌زنی با افزایش نیروی اعمالی جک‌ها، روند افزایشی خواهد داشت. شکل ۱۳ جابه‌جایی قائم قسمت فوقانی شمع‌های عکس‌العمل C-۳، B-۳، A-۳، واقع در محور طولی شماره ۳ پلان سازه، را برای سه سازه مورد مطالعه نشان می‌دهد. در این شکل، نشت آنی شمع بعد از مرحله احداث آن برابر صفر و به عنوان مبدأ برای نمودار بررسی میران نشت شمع تحت عملیات جک‌زنی در نظر گرفته شده است. همچنین گام‌های انجام عملیات اصلاح نشت با شماره‌های ۱ الی ۲۰ مشخص شده‌اند که براساس جدول ۶ در هر مرحله نیروی مشخصی بر شمع‌ها اعمال می‌شود.

هیدرولیکی یا مکانیکی استفاده می شوند، در طول انجام عملیات جک زنی دچار جابجایی قائم در خلاف جهت نیروی اعمالی توسط جک ها بر روی خواهد شد. بروز این نشست باعث متراکم شدن خاک زیر نوک شمع می شود و چون بعد از اصلاح کج شدگی ساختمان این شمع ها جزئی از سیستم بی - سازه خواهد بود، بنابراین احتمال جابه جایی و نشست سازه اصلاح نشست شده شدیداً کاهش می یابد.

۶. طراحی عملیات اصلاح نشست جک زنی یک روند قاعده مند نیست. به عبارت دیگر، برای اصلاح نشست هر سازه، یک طرح منحصر به فرد وجود خواهد داشت و به علم متنوع بودن متغیرهای اثرگذار نمی توان نتایج حاصل از طرح اصلاح نشست یک سازه را به سازه های مشابه دیگر تعیین داد.

وضعیت ساختمان بهترین و مناسب ترین تصمیم را برای تحکیم، اصلاح نشست و یا تخریب کلی سازه هی نشست نموده مشخص خواهد کرد.

۴. براساس نتایج بررسی های عددی، محل اتصال ستون ها بر روی سطح پی بیشترین تمکر نشش را ایجاد می نماید. با وجود اینکه بی، قسمت بسیار زیادی از این نشش ها را جذب می نماید و آن را براساس میزان سختی و صلابت خود به طور یکنواخت تر در کف خود و روی خاک توزیع می نماید، اما مقدار نشش نقطه مقابل محل اتصال ستون بر سطح پی در کف آن، در مقایسه با سایر نقاط کف پی از مقدار بیشتری برخوردار است. بنابراین قرارگیری جک ها در زیر محور ستون ها انتخاب مناسبی خواهد بود.

۵. شمع هایی که در عملیات اصلاح نشست برای تامین نیروی عکس العمل جک های

پانوشت ها

1. soil extraction
2. compaction grouting
3. Jacking
4. Micro tunneling

منابع (References)

1. Zhang, X., Shi, S., Zhao, H. and et al. "Deformation analysis and reinforcement of jin-gang tower in jacking method", *World Journal of Engineering*, **13**(2), pp. 163-168 (2016).
2. Tawfic, Y.R. and Eid, M.A. "Application of micro-tunneling technique to rectify tilted structures constructed on cohesive soil", *World Academy of Science Engineering and Technology, International journal of Civil, Environmental, Structural, Construction and Architectural Engineering*, **9**(11), pp. 1442-1449 (2015).
3. Marchi, M. "Stability and strength analysis of leaning towers", thesis submitted for the degree of Doctor of Philosophy, University of Padova, Padova, Italy (2008).
4. Gromysz, K. "Rectification an 11-storey vertically deflected residential building", *Procedia Engineering*, **57**(12), pp. 382-391 (2013).
5. Ovando-Shelley, E. and Santoyo, E. "Underexcavation for leveling buildings in Mexico city: Case of the metropolitan cathedral and the Sagrario Church", *Journal of Architectural Engineering*, **7**(3), pp. 61-70 (2001).
6. Burland, J.B., Kamiolkowski, M.B. and Viggiani, C. "Leaning tower of Pisa: behavior after stabilization operations", *International Journal of Geoengineering Case Histories*, **1**(1), pp. 156-169 (2009).
7. Han, J. "Principles and practice of ground improvement", Wiley & Sons, New Jersey, United States of America (2015).
8. Cheng, W.C., Ni, J.C. and Hwang, H.W. "Jacking tilted building by automatic multiple grouting", In *Characterization, Modeling, and Evaluation of Geotechnical Engineering Systems*, pp. 50-57 (2014).
9. Rahmani, A.H. "Investigation on treatment of asymmetric settlement in concrete buildings and their foundation by micro-tunneling technique", Thesis Submitted for The Master's degree, Azarbaijan Shahid Madani University, Tabriz, Iran (In Persian) (2019-1397).
10. Maffei, C.E. and Goncalves, H.H. "Straightening two tilted buildings using two different techniques", *Innovative Technologies for Severe Weather and Climate Change, Geo-China* 2016, **10**(1), pp. 1-8, (2016).
11. Kijanka, M. and Kowalska, M. "Inclined buildings-some reasons and solutions", *IOP Conference Series: Materials Science and Engineering*, **245**(2), pp. 1-11 (2017).
12. Gromysz, K. "Methods of removing buildings deflection used in Poland", In *IOP Conference Series: Materials Science and Engineering*, **245**(3), pp. 32-46 (2017).
13. Mallaei, M.R., Brazine, M. and Saba, H.R. "Investigation of different methods of reinforcement and improvement of foundations", *Second National Conference on Geotechnical Engineering of Iran*, Kermanshah, Iran, pp. 1-9, (In Persian) (2014-1393).
14. Ehterami, A.A. "Investigation on treatment of asymmetric settlement in concrete buildings and their foundations by jacking method", Thesis Submitted for the Master's degree, Azarbaijan Shahid Madani University, Tabriz, Iran, (In Persian) (2019).
15. Iranian National Building Code, Part 6th, "Design loads for buildings", Office of National Construction Codes. Ministry of Roads and Urban Development. Tehran, Iran (In Persian) (2013-1392).
16. Iranian National Building Code, Part 7th, "Foundation and construction", Office of National Construction Codes. Ministry of Roads and Urban Development. Tehran, Iran. (In Persian) (2013-1392).

17. Iranian National Building Code, Part 9th, "Design and construction of RC buildings", Office of National Construction Codes. Ministry of Roads and Urban Development. Tehran, Iran. (In Persian) (2013-1392).
18. Mroueh, H. and Shahrour, I. "A full 3-D finite element analysis of tunneling-adjacent structures interaction", *Computers and Geotechnics*, **30**(3), pp. 245-253 (2003).
19. Alizadeh Majd, A. and Dabiri, R. "Geotechnical illustration of fereshteh alley in tabriz city", *New Approaches in Civil Engineering*, **2**(1), pp. 14-32 (In Persian) (2018-1397).
20. Potts, D.M., Zdravkovic, L. and Zdravkovic, L. "Finite element analysis in geotechnical engineering: application", Thomas Telford (2001).
21. MIDAS IT. Co. Ltd. "Manual of GTS-NX". South Korea: MIDAS Company, (2018).
22. Eid, M., Hefny, A., Sorour, T. and et al. "Numerical analysis of large diameter bored pile installed in multi layered soil: A case study of Damietta port new grain silos project", *International Journal of Current Engineering and Technology*, **8**(2), pp. 218-226 (2018).
23. Butler, H.D. and Hoy, H.E. "The Texas quick load test method for foundation load testing user's manual", FHWA IP-77.8, FHWA Implementation Division, Washington, DC. (1977).
24. Zhang, X., Shi, S., Zhao, H. and et al. "Deformation analysis and reinforcement of jin-gang tower in jacking method". *World Journal of Engineering*, **13**(2), pp. 163-168 (2016).
25. Maffei, C.E. and Goncalves, H.H. "Innovative techniques used to plumb two 57 m height concrete buildings leaning 3.8 and 3.1", *Innovative Infrastructure Solutions*, **1**(1), pp. 1-18, (2016).
26. Braszin, M. "PLAXIS software comprehensive guide", First Edition, Elme-Omran Publishing Institute, Tehran, Iran, (In Persian) (2017-1396).
27. Baji, H. "Calculation of construction projects using ETABS and SAFE", Sixteenth edition, Elme-Omran Publishing Institute, Tehran, Iran. (In Persian) (2014-1393).